

2 **Богачев, В.И.** Основы теории меры / В.И. Богачев. – Москва – Ижевск : НИЦ «Регулярная и хаотическая динамика», 2006. – Т. 1. – С. 584.

### Bibliography

1 **Vagin, V.S.** Optimization of quasi-linear models of complete systems in view of random nature of priorities : abstracts / V.S. Vagin, I.V. Pavlov // International Conference «KROMSH-XXVI». – 2015. – P. 109.

2 **Bogachev, V.I.** Foundations of Measure Theory / V.I. Bogachev. – Moscow – Izhevsk : Scientific and Publishing Center «Regular and chaotic dynamics», 2006. – Vol. 1. – P. 584.

УДК 621.891 + 06

*А.Н. Гармония, Е.А. Копотун*

## НЕЛИНЕЙНЫЕ ЭФФЕКТЫ ВОЗДЕЙСТВИЯ ЭЛЕКТРОПРОВОДЯЩЕЙ СМАЗКИ НА РАБОЧИЕ ХАРАКТЕРИСТИКИ УПОРНОГО ПОДШИПНИКА, ОБЛАДАЮЩЕГО ДЕМПФИРУЮЩИМИ СВОЙСТВАМИ

**Введение.** С развитием современного машиностроения возникает необходимость повышения эксплуатационных характеристик узлов трения. Наиболее перспективным является применение подшипников, работающих на ферромагнитных смазочных материалах, с однослойным кольцом из пористого подшипникового композита. В предлагаемом исследовании рассматривается упорный подшипник описанной конструкции при одновременном учете проницаемости пористого слоя и сил инерции. Подобный подход к решению поставленной задачи востребован практикой, так как включает целый комплекс реально действующих переменных факторов. В большинстве опубликованных работ, посвященных расчету пористых трибоэлементов, работающих на электропроводящих смазочных материалах [1–7], проницаемость пористого слоя считается постоянной и не может обеспечить жидкостный режим трения.

Разработке расчетной модели упорного подшипника с учетом проницаемости пористого слоя, работающего на электропроводящем смазочном материале, посвящена работа [6]. Обобщение этой задачи с учетом сил инерции позволит решить поставленную проблему.

**Постановка задачи.** Рассмотрим ламинарное течение несжимаемого электропроводящего смазочного материала в зазоре упорного подшипника (между ползуном и направляющей) с пористым покрытием на поверхности подшипниковой втулки (рис. 1). Движение смазочного материала считается установившимся.

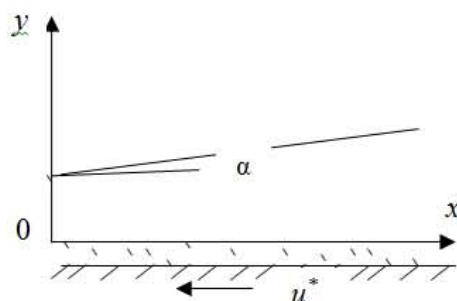


Рис. 1. Схематическое изображение наклонного ползуна и направляющей

Ползун неподвижен, а направляющая движется в сторону сужения зазора со скоростью  $u^*$ .

$$y = h_0 + x \operatorname{tg} \alpha; y = 0; y = -H. \quad (1)$$

Здесь  $H$  – толщина пористого слоя;  $\alpha$  – угол наклона ползуна к оси  $ox$ ;  $h_0$  – толщина смазочной пленки.

Зависимость проницаемости пористого слоя по координате  $x$  задается следующим образом:

$$k = k_0 k^*, \quad (2)$$

где  $k^* = 1 + \frac{\tilde{A}}{k_0 \omega l} (\cos l \omega - 1)$ ;  $k_0$  – заданная постоянная величина;  $l$  – длина интервала.

Исходные уравнения и граничные условия аналогичны предыдущим задачам [6], но включают дополнительные условия (2) с учетом сил инерции.

Характеристики электропроводящей жидкости при наличии электромагнитных полей могут быть выражены при помощи уравнения:

$$\frac{\partial^2 v_x}{\partial y^2} = \frac{1}{\mu} \frac{dp}{dx} - \frac{1}{\mu} \sigma B (E - B v_x) + \rho \left( u \frac{\partial v}{\partial y} + v \frac{\partial v}{\partial x} \right), \quad (3)$$

где  $\mu$  – вязкость;  $\rho$  – плотность;  $\sigma$  – электропроводность;  $B$  – составляющая вектора магнитной индукции;  $E$  – составляющая вектора электрического поля;  $v_x, v_y$  – компоненты вектора скорости. При анализе рассматриваемой системы в качестве исходных берется уравнение (3), а также уравнения неразрывности и уравнения Дарси:

$$\frac{\partial v_x}{\partial x} + \frac{\partial v_y}{\partial y} = 0, \quad (4)$$

$$\frac{\partial^2 P}{\partial x^2} + \frac{\partial^2 P}{\partial y^2} = 0, \quad (5)$$

где  $P$  – давление в пористом слое.

К вышеуказанным уравнениям следует добавить уравнения Максвелла (закон отсутствия магнитного заряда)

$$\frac{\partial B_y}{\partial y} = 0, \quad \text{div} \vec{B} = 0, \quad \text{rot} \vec{E} = 0. \quad (6)$$

Система уравнений (3)–(6) решается при следующих граничных условиях:

$$v_x = 0, v_y = 0 \text{ при } y = h_0 + x \tan \alpha, \quad v_x = -u^*, v_y = 0 \text{ при } y = 0, \quad p(0) = p(l) = p_a, \quad (7)$$

где  $p_a$  – атмосферное давление.

$$\frac{\partial P}{\partial y} = 0 \text{ при } y = -H, \quad -\frac{k}{\mu} \frac{\partial P}{\partial y} \Big|_{y=0} = V_y \Big|_{y=0}, \quad p = P \Big|_{y=0}. \quad (8)$$

Значения (7) означают условия прилипания смазки к поверхности ползуна и направляющей, а также равенства давления атмосферному в начальном и конечном сечениях. Условия (8) показывают непрерывность гидродинамического давления на поверхности раздела между пористым слоем и смазочной пленкой. Кроме того, на этой поверхности нормальная составляющая скорости определяется законом Дарси. На непроницаемой поверхности пористого слоя скорость равна нулю.

Перейдем к безразмерным переменным по формулам (в смазочном слое):

$$v_y = \varepsilon u^* u, \quad v_x = u^* v, \quad \varepsilon = \frac{h_0}{l}; \quad l y = h_0 y'; \quad x = l x', \quad p = p^* p'; \quad p^* = \frac{\mu u^* l}{h_0^2}; \quad B_y = B = \text{const}, \quad (9)$$

$$E_z = E = \text{const}; \quad N = \frac{\sigma B h_0^2}{\mu} \text{ – число Гартмана}; \quad A = \frac{\sigma B E h_0^2}{\mu u^*} \text{ – безразмерная величина, обу-}$$

словленная наличием электрического поля.

В пористом слое переход к безразмерным переменным осуществим по формулам:

$$x = l x', \quad y = l y', \quad P = p^* P'. \quad (10)$$

Подставляя (9) и (10) в уравнения (3)–(5), опуская штрихи при безразмерных переменных, приходим к следующему выражению:

$$\frac{\partial p}{\partial y} = 0, \quad \frac{\partial^2 v}{\partial y^2} = \frac{dp}{dx} + N v - A + R_e \left( u \frac{\partial v}{\partial y} + v \frac{\partial v}{\partial x} \right), \quad \frac{\partial u}{\partial y} + \frac{\partial v}{\partial x} = 0, \quad \frac{\partial^2 P}{\partial y'^2} + \frac{\partial^2 P}{\partial x'^2} = 0. \quad (11)$$

Система уравнений (3) решается при следующих условиях:

$$v = 0, u = 0 \text{ при } y = 1 + \gamma x = h(x);$$

$$v = -1 \text{ при } y = 0, \quad p(0) = p(1) = \frac{p_a}{p^*}; \quad (12)$$

$$P = P|_{y^*=0, u|_{y=0}} = M \frac{\partial P}{\partial y^*} \bigg|_{y^*=0}, \frac{\partial P}{\partial y^*} \bigg|_{y^*=-\frac{H}{l}} = 0.$$

Здесь  $\gamma = \frac{l \operatorname{tg} \alpha}{h_0}$ ;  $k = k_0 k^*$ ;  $N = \frac{\sigma B h_0^2}{\mu}$  – число Гартмана;  $A = \frac{\sigma B E h_0^2}{\mu u^*}$  – безразмерная вели-

чина, обусловленная наличием электрического поля;  $\operatorname{Re} = \frac{\rho u^* h_0^2}{\mu l}$  – число Рейнольдса

В отличие от предложенного в работе [6] метода формирования точного автомодельного решения рассматривается задача, когда  $\operatorname{Re} = 0$ , ниже приводится асимптотическое решение задачи по степеням малого параметра  $\gamma$  ( $\gamma \ll 1$ ). Граничные условия на поверхности вала задаем следующим образом:

$$\begin{aligned} u(1 + \gamma x) &= u|_{y=1} + \frac{\partial u}{\partial y} \bigg|_{y=1} \gamma x + \frac{\partial^2 u}{\partial y^2} \bigg|_{y=1} \gamma^2 x^2 + \dots = 0; \\ v(1 + \gamma x) &= v|_{y=1} + \frac{\partial v}{\partial y} \bigg|_{y=1} \gamma x + \frac{\partial^2 v}{\partial y^2} \bigg|_{y=1} \gamma^2 x^2 + \dots = 0. \end{aligned} \quad (13)$$

Асимптотическое решение задачи будем искать в виде:

$$u = \sum_{k=0}^{\infty} u_k \gamma^k, \quad v = \sum_{k=0}^{\infty} v_k \gamma^k, \quad p = \sum_{k=0}^{\infty} p_k \gamma^k, \quad P = \sum_{k=0}^{\infty} P_k \gamma^k. \quad (14)$$

Подставляя (14) в уравнение (11), получим:

$$\frac{\partial p_0}{\partial y} = 0, \quad \frac{\partial^2 v_0}{\partial y^2} = N + A. \quad (15)$$

Граничные условия запишутся в виде:

$$u_0 = 0, \quad p_0 = P_0 = \text{const}, \quad v_0 = 0 \text{ при } y = 1, \quad v_0 = -1 \text{ при } y = 0. \quad (16)$$

Решая уравнение (15) с учетом граничных условий (16), получим следующее выражение:

$$v_0 = (N + A) \frac{y^2}{2} - (N + A) \frac{y}{2} + y - 1. \quad (17)$$

Для первого приближения придем к следующей системе уравнений с граничными условиями к ним:

$$\begin{aligned} \frac{\partial P_1}{\partial y} &= 0, \quad \frac{\partial^2 v_1}{\partial y^2} = \frac{dp_1}{dx} + \operatorname{Re} \left( u_1 \frac{dv_0}{dy} + v_0 \frac{\partial v_1}{\partial x} \right), \\ \frac{\partial u_1}{\partial y} + \frac{\partial v_1}{\partial x} &= 0, \quad \frac{\partial^2 P_1}{\partial y^{*2}} + \frac{\partial^2 P_1}{\partial x^2} = 0, \\ v_1|_{y=1} &= -\frac{\partial v_0}{\partial y} \bigg|_{y=1} x, \quad u_1|_{y=1} = 0, \end{aligned} \quad (18)$$

$$v_1 = 0 \text{ при } y = 0, \quad u_1|_{y=0} = M \frac{\partial P_1}{\partial y^*} \bigg|_{y^*=0}, \quad p_1 = P_1 \text{ при } y^* = 0; \quad (19)$$

$$P_1 = 0 \text{ при } x = 0, \quad x = 1, \quad \frac{\partial P_1}{\partial y^*} \bigg|_{y^*=-\frac{H}{l}} = 0.$$

Для второго приближения будем иметь:

$$\frac{\partial P_2}{\partial y} = 0, \quad \frac{\partial^2 v_2}{\partial y^2} = \frac{dP_2}{dx} + R_e \left( u_0 \frac{\partial v_2}{\partial y} + u_1 \frac{\partial v_1}{\partial y} + u_2 \frac{\partial v_0}{\partial y} + v_0 \frac{\partial v_2}{\partial x} + v_1 \frac{\partial v_1}{\partial x} \right),$$

$$\frac{\partial u_2}{\partial y} + \frac{\partial v_2}{\partial x} = 0, \quad \frac{\partial^2 P_2}{\partial y^{*2}} + \frac{\partial^2 P_2}{\partial x^2} = 0; \quad (20)$$

$$v_2(1) = -\frac{\partial v_1}{\partial y} \Big|_{y=1} x - \frac{\partial^2 v_0}{\partial y^2} \Big|_{y=1} x^2,$$

$$u_2(1) = -\frac{\partial v_1}{\partial y} \Big|_{y=1} x - \frac{\partial^2 u_0}{\partial y^2} \Big|_{y=1} x^2,$$

$$v_2(0) = 0, \quad u_2 \Big|_{y=0} = M \frac{\partial P_2}{\partial y^*} \Big|_{y^*=0}, \quad p_2 = P_2 \text{ при } y^* = 0, \quad (21)$$

$$P_2 = 0 \text{ при } x = 0, \quad x = 1, \quad \frac{\partial P_2}{\partial y^*} \Big|_{y^*=-\frac{H}{l}} = 0.$$

Перейдем к решению задачи для первого приближения (19)–(20). Решение этой задачи будем искать в виде:

$$u_1 = R_3(y), \quad v_1 = R_1(y) + R_2(y)x, \quad p = D(x^2 - x), \quad P = R_4(y^*) + D(x^2 - x). \quad (22)$$

Подставляя (22) в (17) и (18), получим:

$$R_1'' = -D + R_e \left[ \left( R_3(N+A)y - \frac{N+A}{2} + 1 \right) + \left( R_2(N+A) \frac{y^2}{2} - (N+A) \frac{y}{2} + y - 1 \right) \right],$$

$$R_2'' = 2D, \quad R_3' = -R_2, \quad R_4'' = -2D. \quad (23)$$

Граничные условия (19) запишем в виде

$$R_1(0) = 0, \quad R_2(1) = -\frac{dv_0}{dy} \Big|_{y=1},$$

$$R_3(1) = 0, \quad R_1(1) = 0, \quad R_2(0) = 0, \quad (24)$$

$$R_3(0) = M R_3' \Big|_{y^*=0}, \quad R_4(0) = 0, \quad R_4' \Big|_{y^*=-\frac{H}{l}} = 0.$$

Интегрируя уравнения (22)–(23) по  $y$  с учетом (24), получим:

$$D = \frac{N+A+2}{l-12HM} \frac{3l}{2}.$$

$$\begin{aligned}
R_2 &= \frac{N+A+2}{l-12HM} \left[ -\frac{3ly^2}{2} + (l+6HM)y \right], \\
R_3 &= \frac{N+A+2}{l-12HM} \left[ \frac{ly^3}{2} - (l+6HM)\frac{y^2}{2} + 3HM \right], \\
R_4 &= \frac{N+A+2}{l-12HM} \left[ \frac{3l}{2}(y^*)^2 + 3H(y^*) \right], \\
R_1 &= -\frac{Dy}{2} + \tilde{\Delta}(y) + \left( \frac{D}{2} - \tilde{\Delta}(1) \right) y, \\
D &= \frac{N+A+2}{l-12HM} \frac{3l}{2}.
\end{aligned} \tag{25}$$

Решение задачи (20)–(21) по виду правой части для второго приближения будем искать в виде:

$$\begin{aligned}
v_2 &= R_5(y) + R_6(y)x + R_7(y)x^2, \\
u_2 &= R_8(y) + R_9(y)x, \\
p_2 &= D_1x^3 + D_2x^2 + D_3x, \quad D_3 = -D_1 - D_2, \\
P_2 &= R_{11}(y^*)x + R_{10}(y^*) + D_1x^3 + D_2x^2 + D_3x.
\end{aligned} \tag{26}$$

Подставляя (26) в (20) и (21) для определения  $R_i$ ,  $D_1$  и  $D_2$  получим следующую систему уравнений и граничные условия к нему:

$$\begin{aligned}
\frac{d^2 R_5}{dy^2} &= D_3 + R_e \left[ R_3(y)R_1'(y) + \frac{dv_0}{dy} R_8(y) + R_1 R_2 \right], \\
\frac{d^2 R_6}{dy^2} &= 2D_2 + R_e \left[ R_3(y)R_1'(y) + \frac{dv_0}{dy} R_9(y) + v_0 2R_7 + R_2' R_2 \right], \\
\frac{d^2 R_7}{dy^2} &= 3D_1, \quad R_8' + R_6 = 0, \quad R_9' + 2R_7 = 0, \quad R_{10}''(y^*) = 3D_1, \quad R_{11}''(y^*) = -6D_1,
\end{aligned} \tag{27}$$

$$\begin{aligned}
R_5(1) &= 0, \quad R_6(1) = -R_1'(1), \quad R_7(1) = -R_2'(1) - v_0''(1), \\
R_8(1) &= 0, \quad R_9(1) = -R_3'(1), \quad R_5(0) = 0, \quad R_6(0) = 0, \\
R_7(0) &= 0, \quad R_8(0) = MR_{10}'(0), \quad R_9(0) = MR_{11}'(0), \\
R_{10}(0) &= 0, \quad R_{11}(0) = 0, \quad R_{10}'\left(-\frac{H}{l}\right) = 0, \quad R_{11}'\left(-\frac{H}{l}\right) = 0.
\end{aligned} \tag{28}$$

Решая задачи (26)–(27), получим с учетом граничных условий (28):

$$\begin{aligned}
R_7(y) &= 3D_1 \left( \frac{y^2}{2} - \frac{y}{2} \right) - R'_2(1)y, \quad R_9(y) = -6D_1 \left( \frac{y^3}{6} - \frac{y^2}{4} \right) + R'_2(1)y^2 - 6MD_1 \frac{H}{l}, \\
R_{11}(y^*) &= 6D_1 \left( -\frac{H}{l}y^* - \frac{y^{*2}}{2} \right), \quad R_{10}(y^*) = -D_2 \left( y^{*2} + 2\frac{H}{l}y^* \right), \quad D_1 = \frac{R'_2(1) + R'_3(1)}{6M \frac{H}{l} - \frac{1}{2}}, \\
R_6(y) &= D_2 y^2 + \tilde{E}(y) - [R'_1(1) + D_2 + \tilde{E}(1)]y, \\
R_8(y) &= -D_2 \frac{y^3}{3} - \int \tilde{E}(y) dy + \left[ R'_1(1) + D_2 + \tilde{E}(1) \frac{y^2}{2} - \frac{2H}{l} MD_2 \right], \\
D_2 &= \frac{\tilde{E}(1) + R'_1(1) \frac{1}{2} + \tilde{E}(1) \frac{1}{2}}{\frac{1}{6} - \frac{2H}{l} M}, \\
\tilde{E} &= \int \int E(y) dy dy, \quad \tilde{\tilde{E}} = \int \tilde{E}(y) dy, \\
E &= R_e \left[ R_3(y)R'_2(y) + \frac{dv_0}{dy} R_9(y) + 2R_7(y)v_0 + R'_2(y)R_2 \right], \\
R_5(y) &= D_3 \frac{y^2}{2} + \tilde{N}(y) - \left( \frac{D_3}{2} + \tilde{N}(1) \right) y, \\
\tilde{N}(y) &= \int \tilde{N}(y), \quad \tilde{N}(y) = \int \int N(y) dy dy, \\
N(y) &= R_e \left[ R_3(y)R'_1(y) + \frac{dv_0}{dy} R_8(y) + R_1 R_2 \right].
\end{aligned} \tag{29}$$

$$\begin{aligned}
R_5(y) &= D_3 \frac{y^2}{2} + \tilde{N}(y) - \left( \frac{D_3}{2} + \tilde{N}(1) \right) y, \\
\tilde{N}(y) &= \int \tilde{N}(y), \quad \tilde{N}(y) = \int \int N(y) dy dy, \\
N(y) &= R_e \left[ R_3(y)R'_1(y) + \frac{dv_0}{dy} R_8(y) + R_1 R_2 \right].
\end{aligned} \tag{30}$$

Определим основные рабочие характеристики подшипника:

$$W = \frac{\tilde{W}}{p^* h} = \int_1^0 \left( \gamma D (x^2 - x) + \gamma^2 (D_1 x^3 + D_2 x^2 + D_3 x) \right) dx = -\frac{\gamma D}{6} - \gamma^2 \left( \frac{D_1}{4} + \frac{D_2}{6} \right),$$

$$\begin{aligned}
L_{TP} &= \frac{\tilde{L}_{TP} h_0}{\mu l} = \int_1^0 \left[ \frac{dv_0}{dy} \Big|_{y=0} + \gamma \frac{dv_1}{dy} \Big|_{y=0} + \gamma^2 \frac{dv_2}{dy} \Big|_{y=0} \right] = \\
&= -\frac{N + A}{2} + 1 + \gamma \left( R'_1(0) + R'_2(0) \frac{1}{2} \right) + \gamma^2 \left( R'_5(0) + R'_6(0) \frac{1}{2} \right).
\end{aligned}$$

Результат численного анализа полученных аналитических зависимостей для основных рабочих характеристик, приведенный на рис. 2–4, показывает:

1 Основные рабочие характеристики (несущая способность и сила трения) упорного подшипника скольжения зависят от напряженности электрического и магнитного полей линейно.

2 Учет сил инерции приводит к тому, что несущая способность упорного подшипника скольжения увеличивается на 5–10 %.

3 При значении параметра неоднородности  $\omega$ , обусловленного наличием пористого слоя, при  $\omega = 0,5$  наблюдается максимум несущей способности как при учете сил инерции, так и без учета ( $Re = 0$ ,  $Re \neq 0$ ).



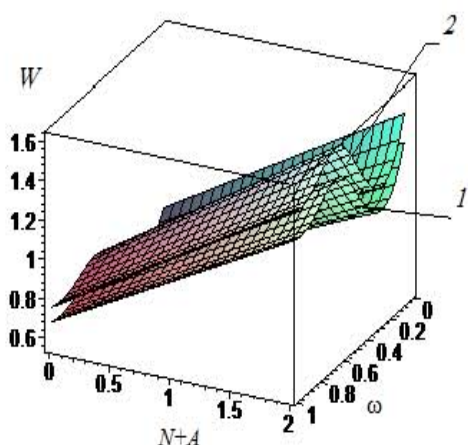


Рис. 2. Зависимость безразмерной несущей способности от значения  $N+A$ , характеризующего наличие магнитной индукции, и параметра  $\omega$  без учета числа Рейнольдса:

1 – при  $\gamma = 0,08$ ,

2 – при  $\gamma = 0,1$

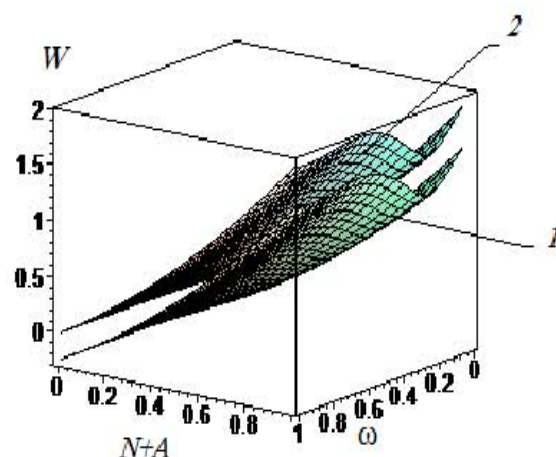


Рис. 3. Зависимость безразмерной несущей способности от значения  $N+A$ , характеризующего наличие магнитной индукции, и параметра  $\omega$  с учетом числа Рейнольдса:

1 – при  $Re = 10$ ;

2 – при  $Re = 50$

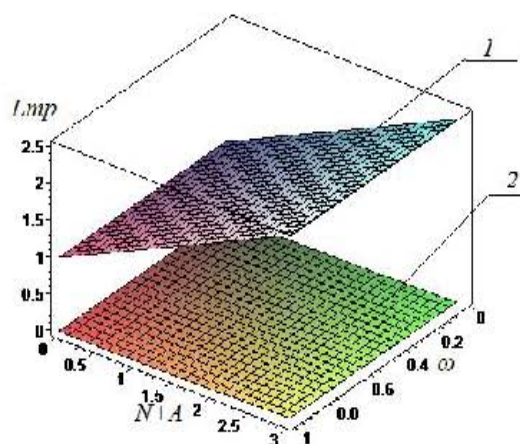


Рис. 4. Зависимость безразмерной силы трения от значения  $N+A$ , характеризующего наличие магнитной индукции, и параметра  $\omega$  с учетом числа Рейнольдса (1) и без учета числа Рейнольдса (2)

#### Библиографический список

- 1 Воробьев, В.Ф. Повышение коррозионной стойкости постоянных магнитов в устройствах магнитоожидкостных уплотнений / В.Ф. Воробьев, Н.В. Ильин, М.Н. Шитко // Вестник машиностроения. – 2002. – № 1. – С. 20–23.
- 2 Михалев, Ю.О. Магнитоожидкостные уплотнения / Ю.О. Михалев // Вестник машиностроения. – 2002. – № 5. – С. 37–45.
- 3 Ахвердиев, К.С. Математическая модель прогнозирования влияния электромагнитного поля на устойчивость работы радиального подшипника, работающего на электропроводящей смазке / К.С. Ахвердиев, Е.О. Лагунова // Вестник РГУПС. – 2009. – № 2. – С. 136–147.
- 4 Лагунова, Е.О. Гидродинамический расчет радиального подшипника при наличии электромагнитного поля / Е.О. Лагунова // Труды РГУПС. – 2008. – № 3(7). – С. 46–51.
- 5 Математическая модель стратифицированного течения двухслойной смазочной композиции в радиальном подшипнике с повышенной несущей способностью с учетом теплообмена / К.С. Ахвердиев, М.А. Мукутадзе, Е.Е. Александрова, А.Ч. Эркенов // Вестник РГУПС. – 2011. – № 1(41). – С. 160–165.
- 6 Гармонина, А.Н. Расчетная модель электропроводящей смазки упорного подшипника с демпфирующими свойствами при наличии электромагнитных полей / А.Н. Гармонина // Вестник РГУПС. – 2015. – № 2. – С. 146–152.

7 Гармонина, А.Н. Расчетная модель электропроводящей смазки радиального подшипника с демпфирующими свойствами при наличии электромагнитных полей / А.Н. Гармонина // Вестник РГУПС. – 2015. – № 3. – С. 121–127.

### Bibliography

- 1 Vorobiev, V.F. Increasing the corrosion resistance of permanent magnets in magnetic-sealing devices / V.F. Vorobiev, N.V. Ilyin, M.N. Shipko // Vestnik mashinostroyeniya. – 2002. – № 1. – P. 20–23.
- 2 Mikhalev, Ju.O. Magnetic fluid sealing / Ju.O. Mikhalev // Vestnik mashinostroyeniya. – 2002. – № 5. – P. 37–45.
- 3 Akhverdiev, K.S. Mathematical model to predict the effects of electromagnetic field on the stability of radial bearing running on the conductive grease / K.S. Akhverdiev, E.O. Lagunova // Vestnik RGUPS. – 2009. – № 2. – P. 136–147.
- 4 Lagunova, E.O. Hydrodynamic radial bearing in the presence of electromagnetic fields / E.O. Lagunova // Trudy RGUPS. – 2008. – № 3(7). – P. 46–51.
- 5 Mathematical model of a two-layer stratified flow of the lubricant composition in a radial bearing with enhanced load-bearing capacity considering heat exchange / K.S. Akhverdiyev, M.A. Mukutadze, E.E. Alexandrova, A.Ch. Erkenov // Vestnik RGUPS. – 2011. – № 1 (41). – P. 160–165.
- 6 Garmonina, A.N. Calculation model of conductive grease thrust bearing with damping properties in the presence of an electric field / A.N. Garmonina // Vestnik RGUPS. – 2015. – № 2. – P. 146–152.
- 7 Garmonina, A.N. The calculation model electrically conductive lubrication radial bearing with damping properties in the presence of electromagnetic fields // Vestnik RGUPS. – 2015. – № 3. – P. 121–127.